

オフ 章

T.S.C. スペクトルから何を知る事ができるか

熱刺激電流測定で測定されるのは各温度 T における電流 $I(T)$ である。もちろん、昇温率 β や、初期温度 T_0 は実験条件として知られている。まず初めに双極子の T.S.C. を考える事にしよう。分極を P とすると

$$I(T) = \beta \varepsilon \frac{dP}{dT}$$

であり、分極 P は

$$\frac{dP}{dT} = -\frac{P}{\beta \tau_r} \quad \text{に従う。物質のパラメータとして}$$

τ_r を求める事が問題となる。上の 2 式は間接的に方程式となるので、 P を消去することにより直接 τ_r を I で表わす事が可能である。

$$I = \beta \varepsilon \frac{dP}{dT} = -\beta \varepsilon \frac{d}{dT} \left(\beta \tau_r \frac{dP}{dT} \right) = -\frac{d}{dT} (\beta \tau_r I)$$

P を消去することにより、上の微分方程式を得る。これから

$$\tau_r = \frac{\frac{1}{\beta} \int_{T_0}^{\infty} I dT}{I}$$

が得られる。この場合は簡単であるから、わざわざ微分方程式にもつこよことは必要でないのだが、より複雑な場合には、上のように考えることにより、見通しが良くなる。次に注入の場合にどうなぞが考えてみる。

$$I(T) = \varepsilon \mu^*(T) \exp \left[-\frac{2}{\beta \varepsilon} \int_{T_0}^T \mu^*(\tau) \gamma(\tau) d\tau \right] \frac{dg}{dT}$$

となる。 $I(T)$ が実験的に知られて時、 $\mu^*(T)$, $\gamma(T)$ に関するどのような事を知り得るだろうか。上の式を簡単のため次のようく書く

$$I(T) = \varepsilon h_1(T) h_2(T) \frac{dg}{dT}$$

$$h_1(T) = \mu^* \exp \left[-\frac{1}{\beta \varepsilon} \int_{T_0}^T \mu^* \gamma d\tau \right]$$

$$h_2(T) = \exp \left[-\frac{1}{\beta \varepsilon} \int_{T_0}^T \mu^* \gamma d\tau \right]$$

原理的には、上の式と前に得た ψ_0, ψ_d, g に関する微分方程式を組み合せて、 h_1, h_2 に関する微分方程式を得れば良いのは、前述のとおりであるが、ここで、次のような問題点を指摘したい。

- 1) 上の操作により、 $h_1(T), h_2(T)$ の独立な微分方程式を得ることはできない。唯一の可能性はたゞが $h_1(T) \times h_2(T)$ の微分方程式を一つ得ることである。
- 2) ψ_0, ψ_d の方程式中に実験的に未知な関数 $U(\psi)$ が現れながら、たゞえ上のようないくつかの微分方程式が得られたとしても、実際に解けない。

以上の理由により、移動度やトラップに關して、T.S.C. 測定のみにして、詳細に議論する事は相等に困難である事が予想される。オ1の問題点は、 h_1 および h_2 に適当な近似をほどこすこと、またオ2の問題は、 $U(\psi)$ の詳しい形に依存しない温度領域においてその満足すべき近似的方程式をいかず事により、いくらか解決されるであろう。 $U(\psi)$ の詳しい形に依存しないことは、少數のパラメタによって多くの場合の $U(\psi)$ が近似されるという特殊な函数が存在するといふ意味である。このようないくつかの函数があれば、 $h_1(T), h_2(T)$ に関して特定な形、例えば熱活性形などを仮定する事により、各パラメタを実験的に決定されるであろう。

従って、T.S.C. スイートルから物質について何らかの知見を得ようとするならば、近似的方程式としてどのようなものを取り、また取るべきかといふ事が最も重要な事である。この点において、実験値の処理の簡明さは、もちろん望むべきものであるが、大型計算機の発達した現在、簡明さを追求するあまり、実験値に含まれる情報を十分に活用できないところがあるが、それは大変な浪費であると言わざるを得ない。

g の満足する近似方程式を

$$g = G(\tau, \frac{\partial \phi}{\partial \tau}, a_i)$$

とする。ここで、 G はある既知函数で、 a_i はいくつかのパラメタである。

$$\begin{aligned}
 \frac{I(\tau)}{\varepsilon h_1(\tau) h_2(\tau)} &= \frac{dg}{d\tau} = \frac{d}{d\tau} G(\tau, \frac{dg}{d\tau}, a_i) \\
 &= G_\tau(\tau, \frac{dg}{d\tau}, a_i) + G_{g_\tau}(\tau, \frac{dg}{d\tau}, a_i) \frac{d^2 g}{d\tau^2} \\
 &= G_\tau(\tau, \frac{I}{\varepsilon h_1 h_2}, a_i) + G_{g_\tau}(\tau, \frac{I}{\varepsilon h_1 h_2}, a_i) \frac{d}{d\tau} \frac{I}{\varepsilon h_1 h_2}
 \end{aligned}$$

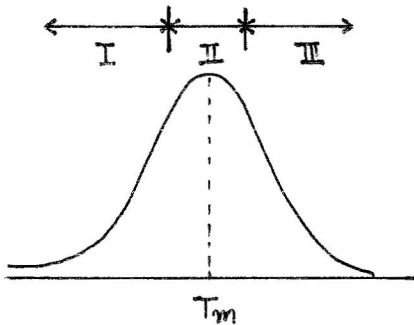
次に τ と T の関係を定めるものとして

$$\frac{d\tau}{dT} = \frac{1}{\beta} \mu^*(T) \exp \left[-\frac{1}{\beta \varepsilon} \int_{T_0}^T \mu^* dT' \right] = \frac{h_1}{\beta}$$

最初の式では常に $h_1 h_2$ と "う積み" が現れるが、次の式では h_1 のみが現れているため、普通の意味で微分方程式を解くためには、式が不足している。ところが、 h_1, h_2 などは、いくつかのパラメータを用いて、特定の形に表わされているので、そのような形をあらかじめ仮定しておけば、上式が最も良く成り立つようにパラメータを決定する事が原理的には可能である。

いくつかの例で見てきたように、T.S.C. スペクトルのピーク付近の様相は、初期の電荷分布に強く依存し、ピーク電流は、仮に全電荷および平均注入位置が等しくとも、数倍程度で変化することができる。従って、電荷分布そのものと興味がない場合に、ピーク付近の電流形状を云々する事は、有益ではない。そこで、移動度や、トラップ等試料全体についての知見を得るために、T.S.C. スペクトルの内、分布に強く依存せず、普遍性のある性質を利用しなくてはならない。

T.S.C. スペクトルを右図のように表わす時に、I, II, IIIの3つの温度領域に分割し、各々の領域について考察してゆく。



Iの領域は initial rise と呼ばれ、双極子の活性化エネルギーを求めるために広く利用されている。電流Iは一般に

$$I = \epsilon \mu^* \exp\left[\frac{ze}{\epsilon} \int_0^t \mu^* n_d dt\right] \frac{dg}{dt}$$

と書けるので、 $dg/dt \approx \text{const.}$ および $\exp(\dots) \approx 1$ とみなせる範囲では

$$I \approx \epsilon \mu^* \frac{dg}{dt} \approx \epsilon \mu^* \cdot \text{const}$$

となり

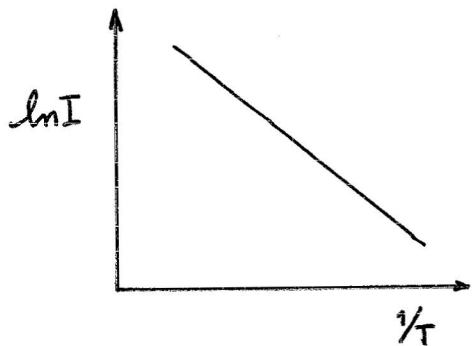
$$\mu^* = \mu_0^* e^{-\frac{W}{kT}}$$

とすると、電流の対数と、

$$\ln I = \text{const} - \frac{W}{kT}$$

となり、活性化エネルギーを求める事ができる。この方法を実際に適用するためには、上に用いた近似の成立する範囲を明らかにしなくてはならない。

$\ln I$ v.s. $1/T$ のプロットは右図のようになる。すなはち直線の傾きが明らかに定義され W/k に等しくなるためには、次の条件が満たされなくてはならない。



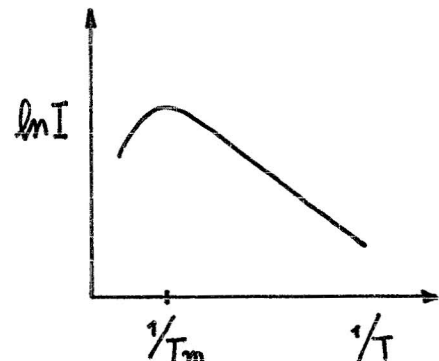
$$\ln I = \text{const.} - \frac{W}{kT} + \frac{ze}{\varepsilon} \int_0^t \mu^* n d dt + \ln \frac{d\varphi}{dT}$$

であるから

$$\left| \frac{d}{d(\frac{1}{T})} \ln I \right| \simeq \frac{W}{k} \quad \text{となるために}$$

$$\begin{aligned} \frac{W}{k} &\gg \left| \frac{d}{d(\frac{1}{T})} \left\{ \ln \frac{d\varphi}{dT} + \frac{ze}{\varepsilon} \int_0^t \mu^* n d dt \right\} \right| \\ &= \left| \frac{T^2}{\beta} \frac{\frac{d^2\varphi}{dT^2}}{\frac{d\varphi}{dT}} \mu^* \exp \left[\frac{e}{\varepsilon} \int_0^t \mu^* n d dt \right] \right. \\ &\quad \left. + \frac{zeT^2}{\beta\varepsilon} \mu^* n d \right| \end{aligned}$$

ピーカー温度では、当然 $\ln I$ は極大を示し右図のようになるから、上の要求は、ピーカー温度では絶対に満たされない。すなはち、問題にしているのは、どの程度の温度まで上の不等式が満足されるかという点である。実際に上の不等式を検討する前に、より簡単な双極子の initial rise について調べる事にする、 initial rise では、双極子と注入電荷による T.S.C. はかなり類似した性格を持つので、この事は有益であると考えられる。一般に、双極子による T.S.C. は次のようく表わされる。



簡単な双極子の initial rise について調べる事にする、 initial rise では、双極子と注入電荷による T.S.C. はかなり類似した性格を持つので、この事は有益であると考えられる。一般に、双極子による T.S.C. は次のようく表わされる。

$$I = \frac{P_0}{T_0} \exp \left(-\frac{W}{kT} - \frac{1}{\beta T_0} \int_{T_0}^T \exp \left(-\frac{W}{kT} \right) dT \right)$$

ここで, P_0 は T_0 における分極量, T_0 は T_0 における双極子の緩和時間である。
これからビーグ温度 T_m は、次式により決定される

$$\frac{W}{kT_m^2} = \frac{1}{\beta T_0} \exp \left(-\frac{W}{kT_m} \right)$$

そこで、 $\ln I$ v.s. $1/T$ の傾きが " W/k " という直線で表わされる条件は、

$$\frac{W}{k} \gg \left| \frac{d}{dT} \frac{1}{\beta T_0} \int_{T_0}^T \exp \left(-\frac{W}{kT} \right) dT \right| = \frac{T^2}{\beta T_0} \exp \left(-\frac{W}{kT} \right)$$

ここで調べる事は、前と同様に、この不等式の成立する限界温度を T_e として
と定める

$$\frac{I(T_e)}{I(T_m)} \quad \text{の大きさを知ることである。}$$

通常 $W/kT \gg 1$ とおえられ、この時

$$\frac{1}{\beta T_0} \int_{T_0}^T \exp \left(-\frac{W}{kT} \right) dT \simeq \frac{kT^2}{W \beta T_0} \exp \left(-\frac{W}{kT} \right)$$

と近似できて

$$I(T_m) \simeq \frac{P_0}{T_0} \exp \left[-\frac{W}{kT_m} - 1 \right]$$

T_e を γ (< 1) を用いて

$$\gamma = \frac{kT_e^2}{W \beta T_0} \exp \left(-\frac{W}{kT_e} \right) = \frac{T_e^2}{T_m^2} \exp \left(\frac{W}{kT_m} - \frac{W}{kT_e} \right)$$

と定めれば、上の条件不等式は

$$\gamma \ll 1$$

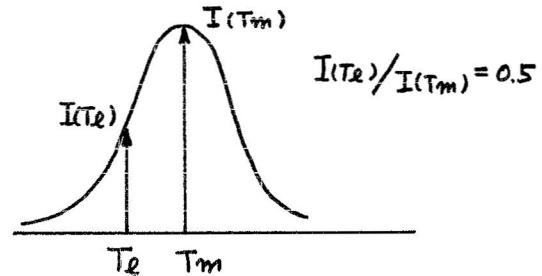
となり、かつ γ は $\ln I$, v.s. $1/T$ プロットから求めた傾きと W/k との相対誤差を表わしている。これを用いて

$$I(T_e) \simeq \frac{P_0}{T_0} \exp \left[-\frac{W}{kT_e} - \gamma \right]$$

従って

$$\frac{I(T_e)}{I(T_m)} \simeq \frac{T_m^2}{T_e^2} e^{-\gamma} \exp(1-\gamma) \simeq \frac{T_m^2}{T_e^2} e^{-\gamma}$$

となるから、右図のようく T_m, T_e とすれば T_e と T_m の値によるとが、おおむね相対誤差は $\gamma \sim 0.15$ 程度になる。次に注入の場合にまどることにする。



ここで簡単のため、 $n_d = \text{const}$ とする。またこれを次のようく近似する。

$$\tau = \int_0^t \mu^* dt \simeq \frac{kT^2}{W_B} \mu^*$$

これは前に見たように、ビーグ以前では常に許される事である。従って条件不等式は

$$1 \gg \tau \left| \frac{d\tau^2}{dg} + \frac{ze}{\varepsilon} n_d \right|$$

左辺の第1項と第2項は互に異符号で、絶対値はビーグ近くでは第1項のはうが大きい。従ってより強い条件として、第1項のみを考えればよい。ここで

$$\frac{dg}{dt} \approx \frac{\beta}{(\tau + \alpha)^n}$$

という近似が、今考えている範囲で成立すると仮定する。実際 SCLC 分布の場合には $n=4$ で成立する事は前述の事実から分かる。また、矩形の場合には $n=2$ で成立する。この式を上の不等式に代入すれば

$$1 \gg \frac{n\tau}{\tau + \alpha}$$

ビーグに対応する τ を τ_m とすれば、 τ_m は次式によつて決まる

$$1 = \frac{n\tau_m}{\tau_m + \alpha} + -\frac{ze}{\varepsilon} n_d \tau_m$$

双極子の場合と同様に

$$\gamma = \frac{n\tau_e}{\tau_e + \alpha}$$

とおく。

$$I(T_m) \simeq \frac{W\beta\varepsilon}{kT_m^2} \tau_m \frac{\beta}{(\tau_m + \alpha)^n} \exp\left[\frac{ze}{\varepsilon} \tau_m n_d\right]$$

$$I(T_e) \simeq \frac{W\beta\varepsilon}{kT_e^2} \tau_e \frac{\beta}{(\tau_e + \alpha)^n}$$

簡単のため n_d の寄与は無視すれば、

$$\frac{I(T_e)}{I(T_m)} \simeq \frac{T_m^2}{T_e^2} \gamma \left(\frac{n}{n-1}\right)^{n-1}$$

今 $\gamma = 4$ とすれば

$$\frac{I(T_e)}{I(T_m)} \simeq 2.37 \gamma \frac{T_m^2}{T_e^2}$$

従って、活性化エネルギーの相対誤差は、双極子による場合と同程度である。上のようす最も単純な initial rise 法では、T.S.C. スペクトルのどの部分から計算するかにより、常に誤差が異なって来るこことに留意しなくてはならない。通常よく利用されるピーツ値の 1/2 程度の所では、適当な補正をしない限り 20% 程度の誤差は避けられない。

単純な initial rise 法では、上に述べたような誤差が伴なうので、これを改善するため、いくつかの方法が提案されている。双極子の場合には、T.S.C. から何が分かるかを考察して時に示した表式があり、その求めかたからも明らかのように、それ以外の改善はあり得ない。注入電荷による T.S.C. の initial rise 法の改善は、前述の一般的手法に従って、まず

$$h_2(T) = \exp\left(-\frac{1}{\beta\varepsilon} \int_{T_0}^T \mu^* \gamma dT\right) \simeq 1$$

とする。

従つて

$$I(T) = \varepsilon h_1 \frac{dg}{dT} = \varepsilon \beta \frac{dg}{dT} = \varepsilon h_1 (g_1 + 2g_2 T)$$

$$\therefore g = \frac{1}{\varepsilon \beta} \int_{T_0}^T I(T) dT = (g_1 + g_2 T) T$$

この右辺は実験的に得られるものである。

$$T = \frac{I(T)}{2g_2 \varepsilon h_1} - \frac{g_1}{2g_2} \quad \text{これを代入して}$$

$$\frac{1}{\varepsilon \beta} \int_{T_0}^T I(T) dT = \frac{1}{4g_2} \left[\frac{I^2}{\varepsilon^2 h_1^2} - g_1^2 \right]$$

$$\therefore h_1(T) = \frac{I(T)}{\varepsilon \left[g_1^2 + \frac{4g_2}{\varepsilon \beta} \int_{T_0}^T I(T) dT \right]^{1/2}}$$

さらに $h_1(T)$ の形を規定しなければ、 g_1, g_2 が不明であるから、 $h_1(T)$ を直接求めることはできない。

$$\begin{aligned} h_1(T) &= \mu^* \exp \left[-\frac{1}{\varepsilon \beta} \int_{T_0}^T \mu^* \gamma^* dT \right] \\ &\simeq \frac{\mu}{1 + \theta^{-1}} \simeq \mu_0 \frac{N_c}{N_s} \exp - \frac{W + (E_a - E_s)}{kT} \end{aligned}$$

これと前式をあわせて

$$\varepsilon g_1 \mu_0 \frac{N_c}{N_s} \exp - \frac{W + (E_a - E_s)}{kT} = \frac{I(T)}{\left[1 + \frac{4g_2}{g_1^2 \varepsilon \beta} \int_{T_0}^T I(T) dT \right]^{1/2}}$$

この右辺が、対数を取ったとき、1/Tに対して直線に従うとも近くなるような g_2/g_1^2 を決定すればよい。

次にⅢの領域について考察する。この領域は、T.S.C. Tail と呼ばべきものであるから、ここでは、この領域からパラメタを求める事を tail 法と呼ぶこととする。この範囲では、前述のような次の展開式が成り立つと考えられる。

$$g(\tau) = g_{\infty} + \frac{e_1 d^2}{36} \frac{1}{(\tau + e_0)^3} + \frac{e_3 d^4}{400} \frac{1}{(\tau + e_0)^5}$$

したがって、

$$I(\tau) = \varepsilon \mu^* \exp \left[-\frac{2}{\varepsilon \beta} \int_{T_0}^{\tau} \mu^* \delta^* dT \right] \frac{dg}{d\tau}$$

であるから

$$\begin{aligned} \frac{1}{\beta} \int_T^{\infty} I(\tau) d\tau &= \varepsilon \int_T^{\infty} \exp \left[-\frac{1}{\varepsilon \beta} \int_{T_0}^{\tau} \mu^* \delta^* dT \right] \frac{dg}{d\tau} d\tau \\ &= \varepsilon \exp \left[-\frac{1}{\varepsilon \beta} \int_{T_0}^{\tau} \mu^* \delta^* dT \right] (-g(\tau) + g_{\infty}) \\ &\quad + \frac{1}{\beta} \int_T^{\infty} \mu^* \delta^* \exp \left[-\frac{1}{\varepsilon} \int_{T_0}^{\tau} \mu^* \delta^* dT \right] (g - g_{\infty}) d\tau \end{aligned}$$

まず $\delta^* = 0$ の場合を考えると、5次の項を無視して

$$g(\tau) = g_{\infty} - \frac{1}{\varepsilon \beta} \int_T^{\infty} I(\tau) d\tau = g_{\infty} + \frac{e_1 d^2}{36} \frac{1}{(\tau + e_0)^3}$$

$$I(\tau) = \varepsilon \mu^* \frac{dg}{d\tau} = -\varepsilon \mu^* \frac{e_1 d^2}{12} \frac{1}{(\tau + e_0)^4}$$

上式から τ を消去すると、

$$\mu^* = \left(\varepsilon \frac{e_1 d^2}{36} \right)^{1/3} \frac{I}{3 \left[\frac{1}{\beta} \int_T^{\infty} I d\tau \right]^{4/3}}$$

これを $1/\tau$ に対して対数プロットすれば μ^* の活性化エネルギーが得られる。

同時K

$$\frac{1}{3} \left(\varepsilon \frac{e_1 d^2}{36} \right)^{1/3} \mu_0^{*-1}$$

も求められる。これをAと置く事にする。適当な温度TcKにおいて。

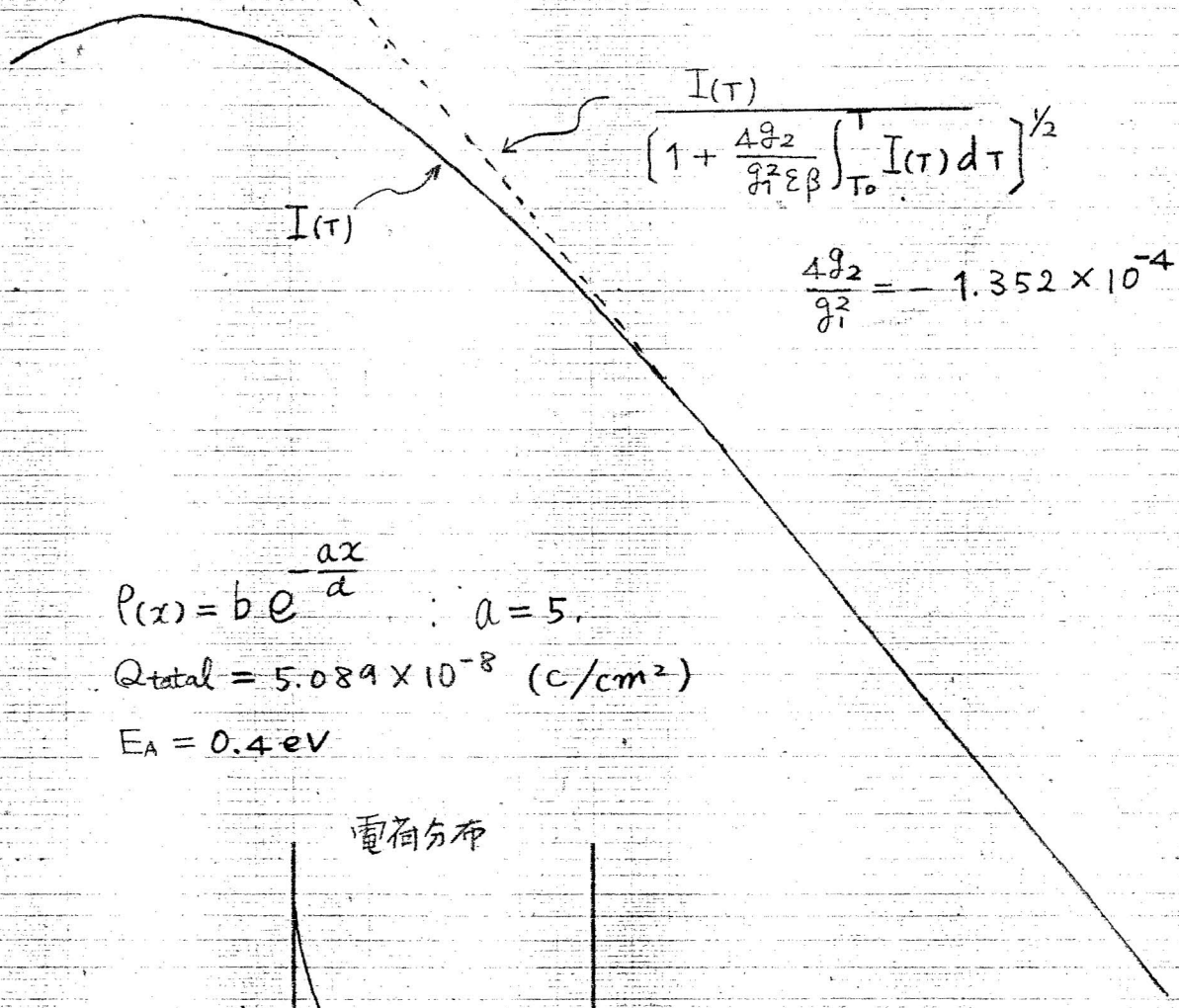
$$\begin{aligned} \frac{1}{\beta} \int_{T_c}^{\infty} I(\tau) d\tau &= \varepsilon (g_{\infty} - g(T_c)) = \varepsilon \frac{e_1 d^2}{36} \frac{1}{(T_c + e_0)^3} \\ &= \frac{(3A\mu_0^*)^3}{d^3 \varepsilon^3} Q^3(T_c) \end{aligned}$$

従って $\mu_0^* = \frac{d\varepsilon}{3AQ(T_c)} \left[\frac{1}{\beta} \int_{T_c}^{\infty} I(\tau) d\tau \right]^{1/3}$

が成立する。もちろん、この成立範囲は、級数展開のオ1項を取る事が許される温度範囲に限られる。仮に、Q(Tc)が知られていれば、上式を用いて μ_0^* を求める事ができる。

Initial rise 法

T.S.C.

 10^{12} 10^{-13} 10^{14} 

3.0

2.6

4.0

Initial rise 法

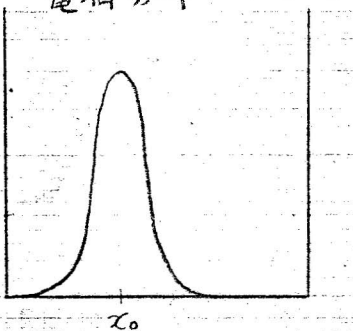
$$P(x) = \frac{b}{(1 + e^{\frac{x-x_0}{a}})(1 + e^{\frac{a(x-x_0)}{a}})}, \quad a = 20$$

$$Q_{\text{total}} = 5.089 \text{ (C/cm}^2)$$

$$x_0 = 15 \mu\text{m}$$

$$E_A = 0.4 \text{ eV}$$

電荷分布



$$\frac{I(\tau)}{\left[1 + \frac{4g_2}{g_1^2 \epsilon \beta} \int_{T_0}^{\tau} I(\tau) d\tau\right]^{1/2}}$$

$$\frac{4g_2}{g_1^2} = 3.823 \times 10^{-5}$$

10^{11}

10^{12}

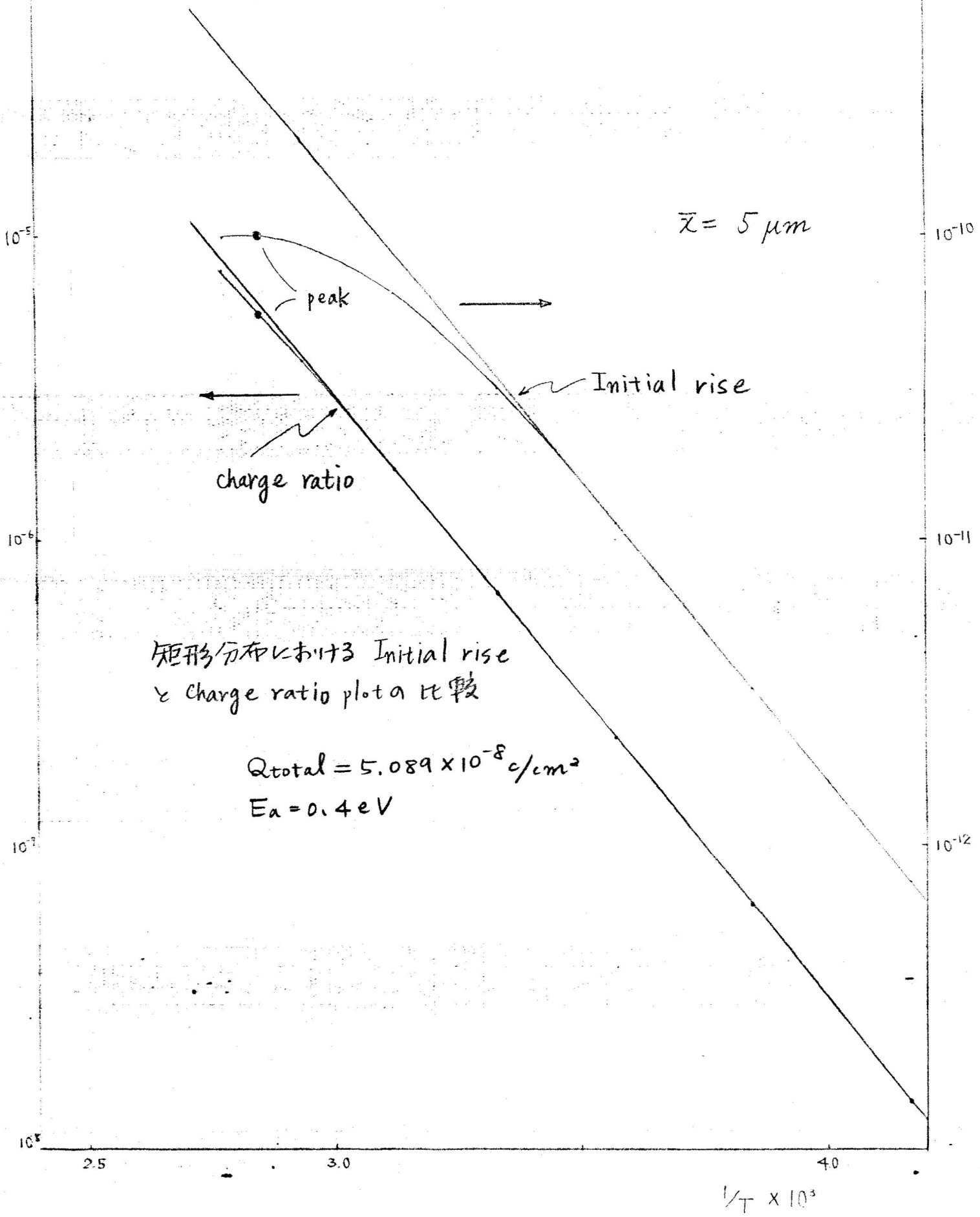
10^{13}

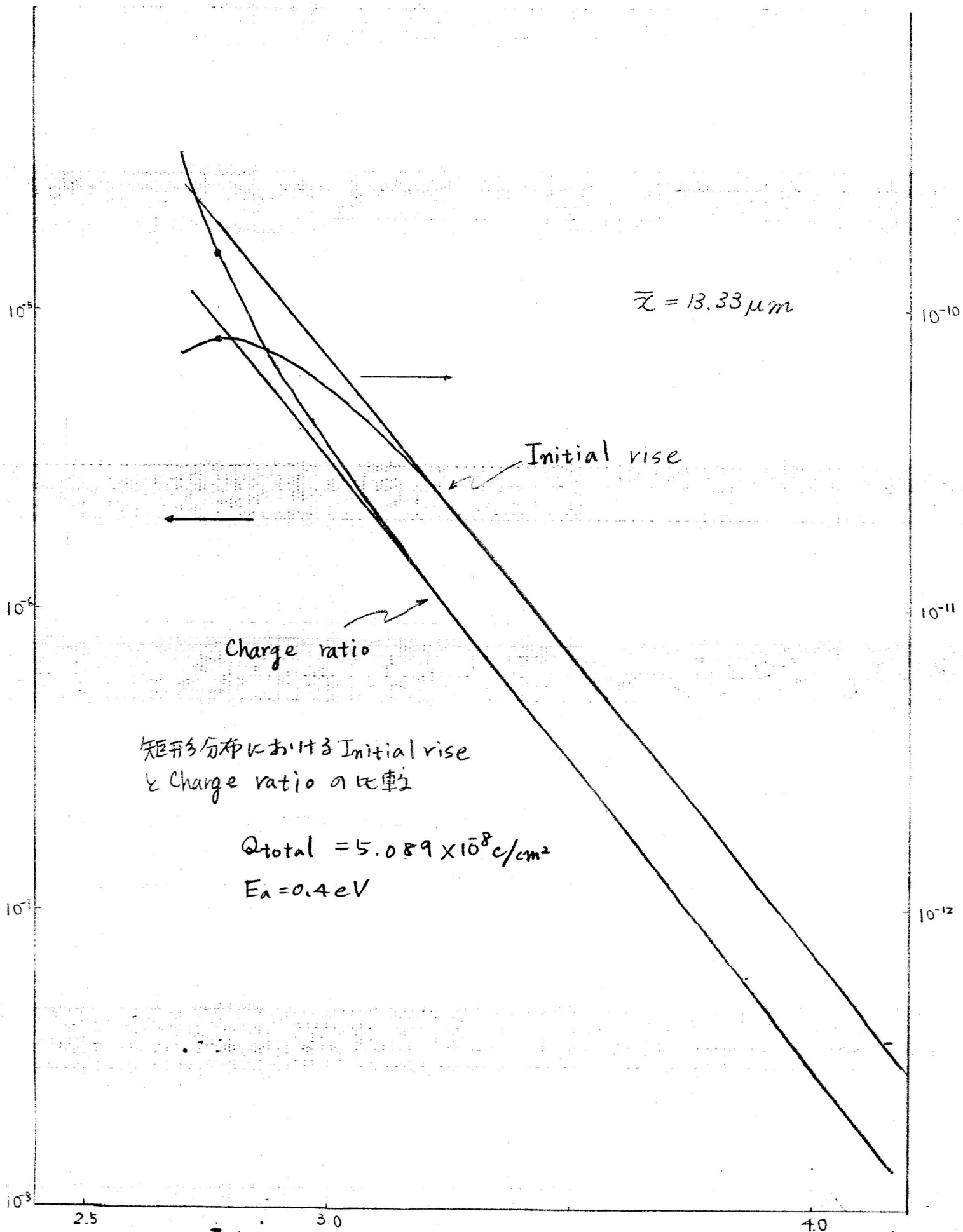
10^{14}

2.6

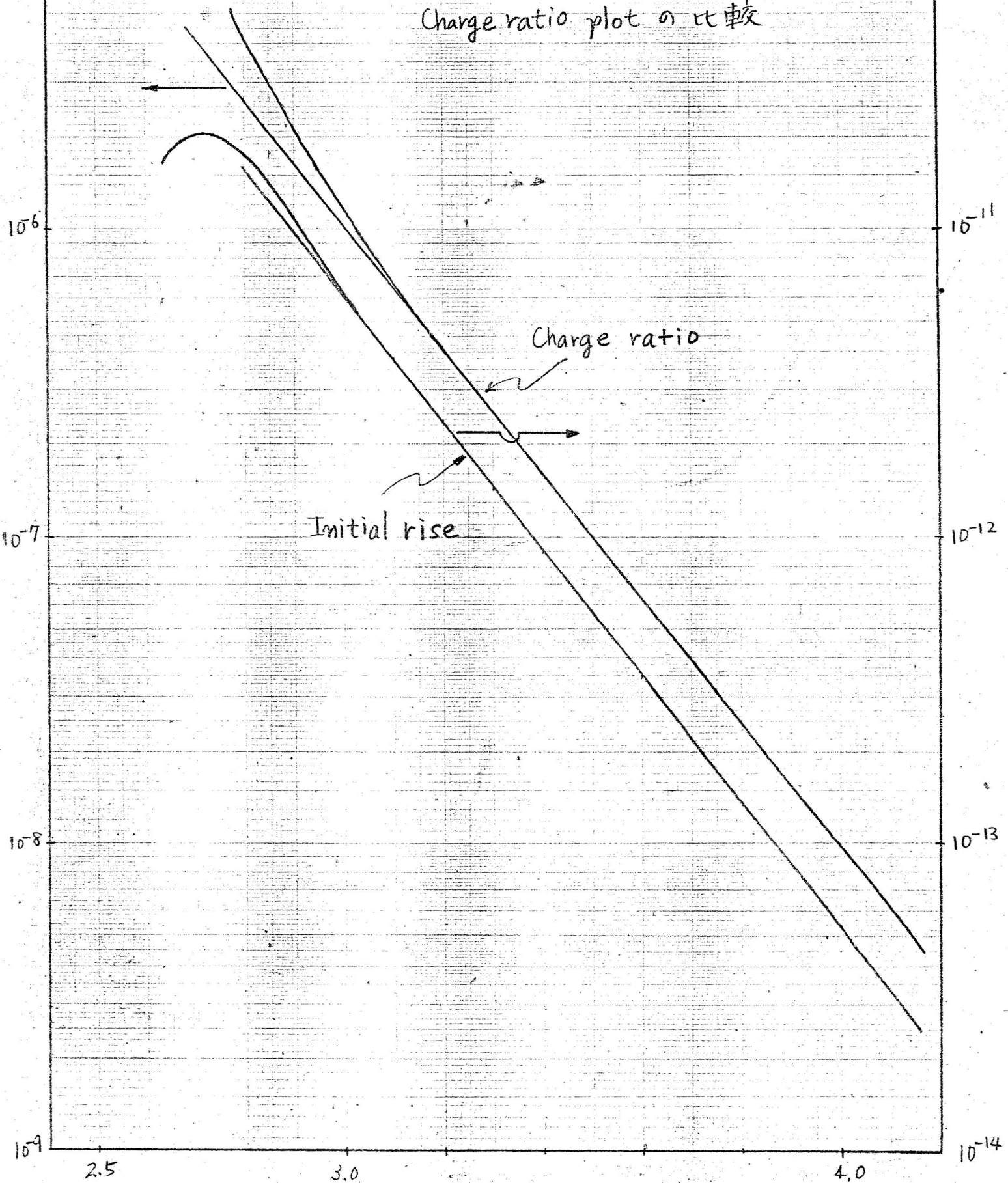
3.0

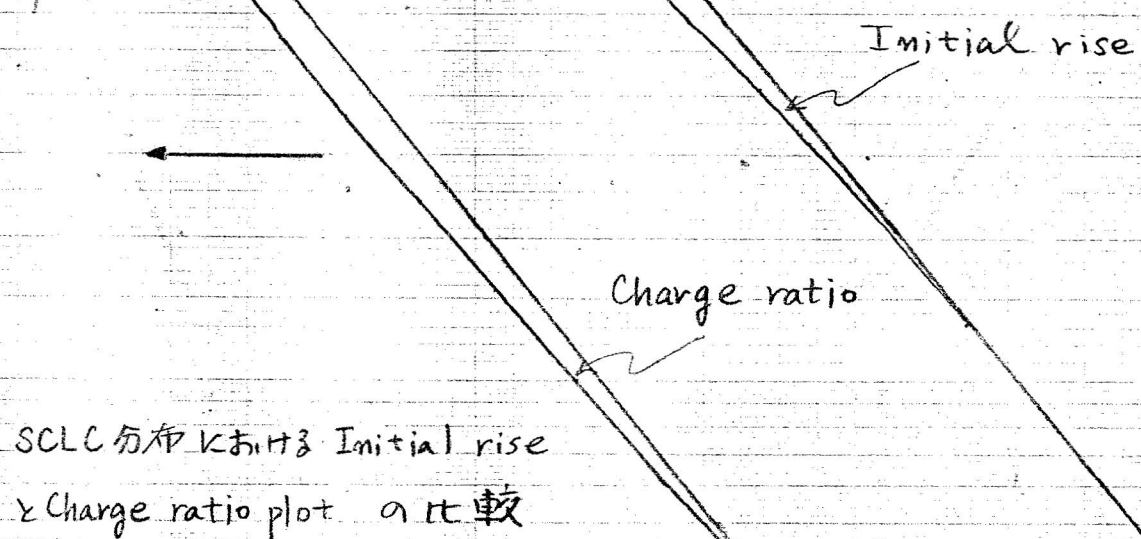
4.0





微分エネルギー分布における Initial rise と
Charge ratio plot の比較





$$Q_{\text{total}} = 5.089 \times 10^{-8} \text{ c/cm}^2$$

$$E_a = 0.4 \text{ eV}$$

10^{-5} 10^{-6} 10^{-7} 10^{-8} 10^{-12} 10^{-13} 10^{-14}

peak

Initial rise

charge ratio

指數分布における Initial rise
 & Charge ratio plot の比較

$$P(x) = b e^{-\frac{x}{d}} \quad a=1$$

$$Q_{\text{total}} = 5.089 \times 10^{-8} \text{ C/cm}^2$$

$$E_a = 0.4 \text{ eV}$$

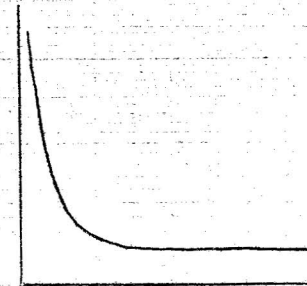
2.5

3.0

4.0

 $1/T \times 10^3$

Tail 法



$$Q_{\text{total}} = 5.089 \times 10^{-8}$$

$$\bar{x}_{\text{mean}} = 13.33 \mu\text{m}$$

$$d = 40 \mu\text{m} \quad (\text{thickness})$$

$$E_A = 0.4 \text{ eV}$$

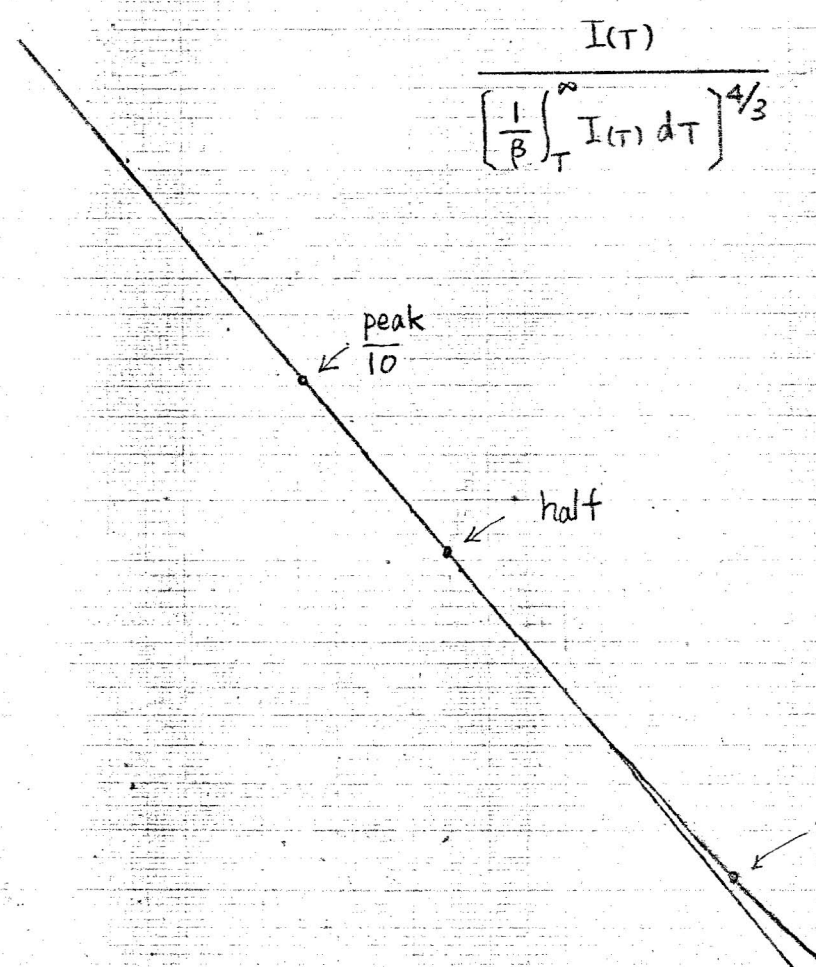
 $I(T)$

$$\left[\frac{1}{B} \int_T^\infty I(T) dT \right]^{4/3}$$

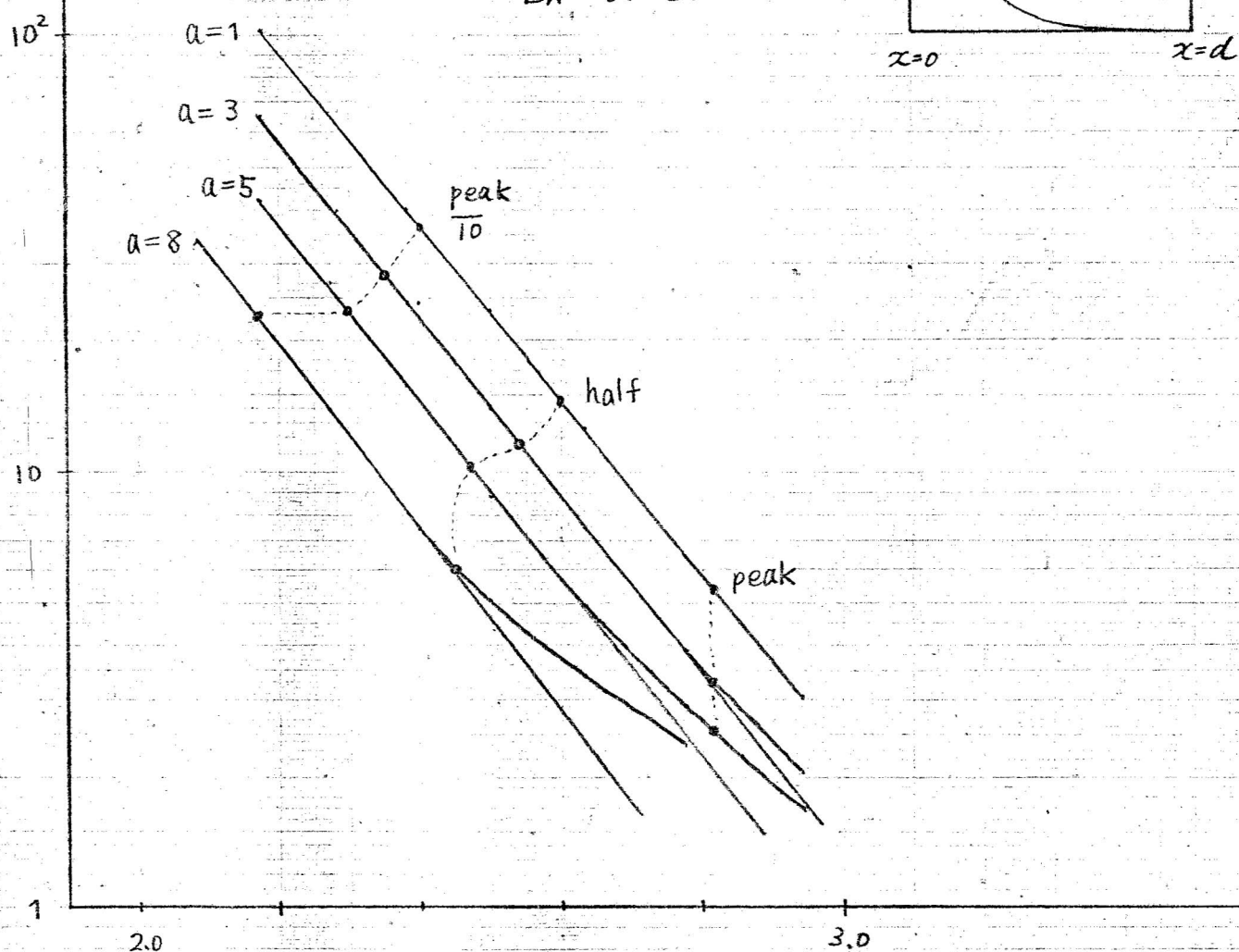
peak
10

half

peak



Tail 法

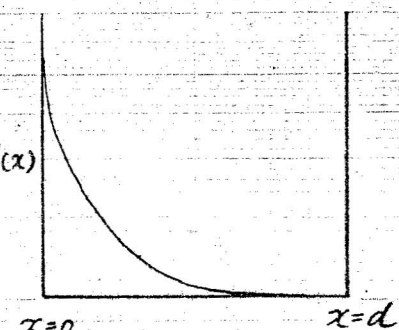


$$P(x) = b e^{-\frac{x}{d} a}$$

$$Q_{\text{total}} = 5.089 \times 10^8$$

$$d = 40 \mu\text{m}$$

$$EA = 0.4 \text{ eV}$$



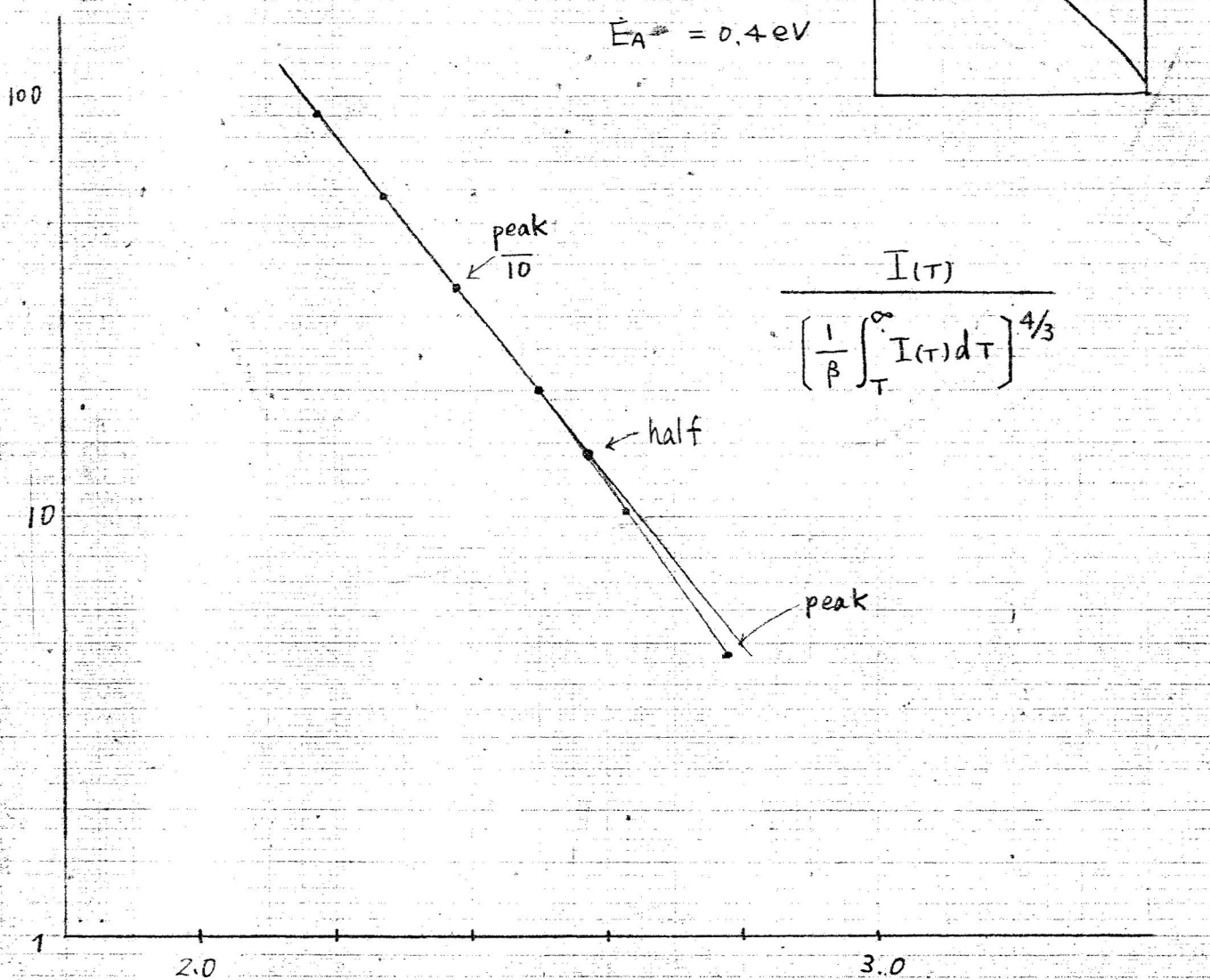
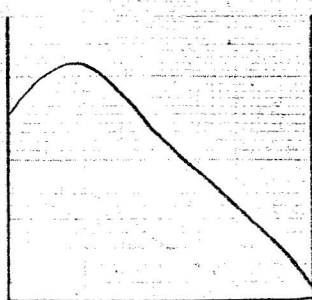
M2

Tail 法

$$Q_{\text{total}} = 5.089 \times 10^8$$

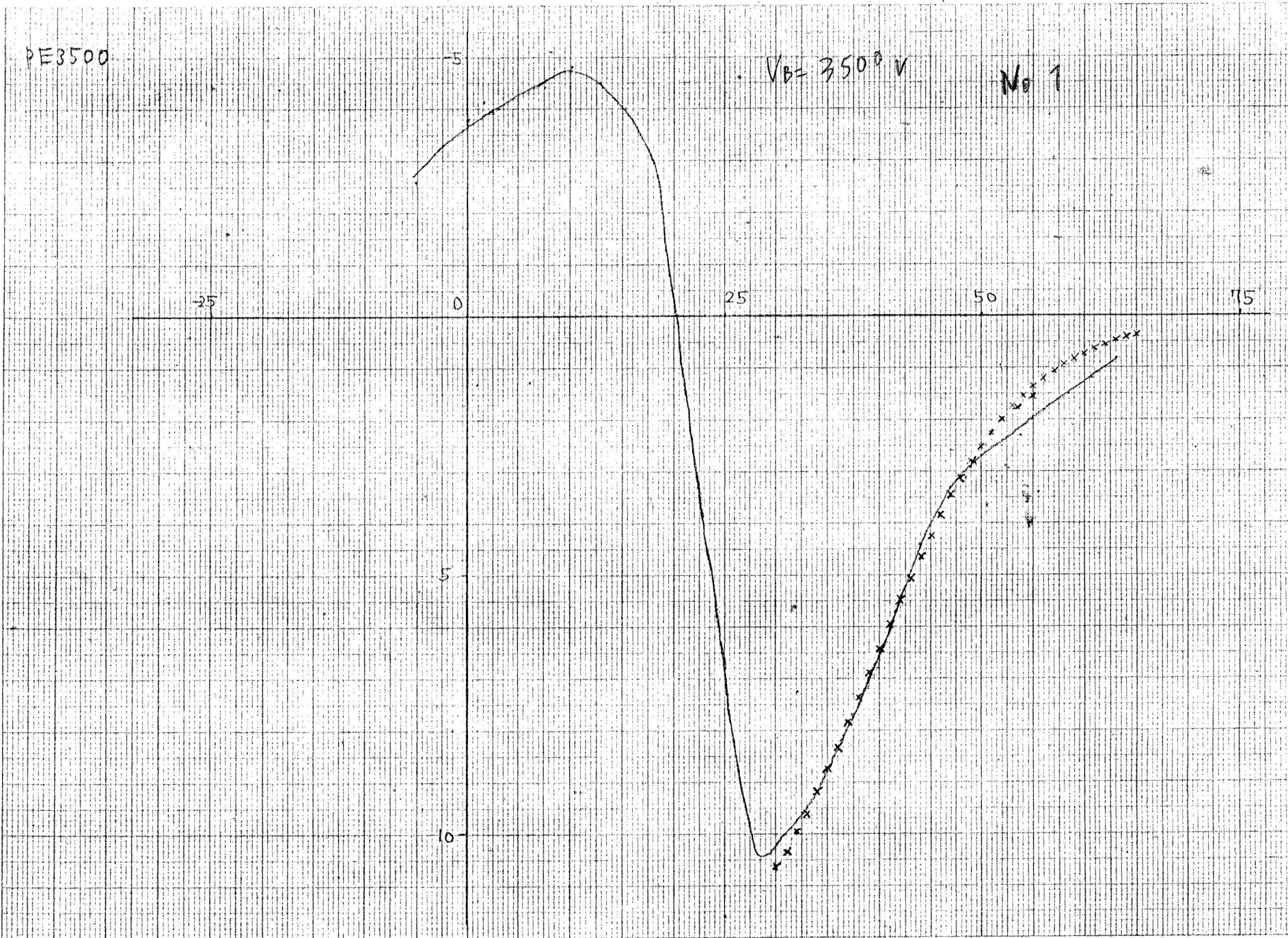
$$\bar{x}_{\text{mean}} = 14.46 \mu\text{m}$$

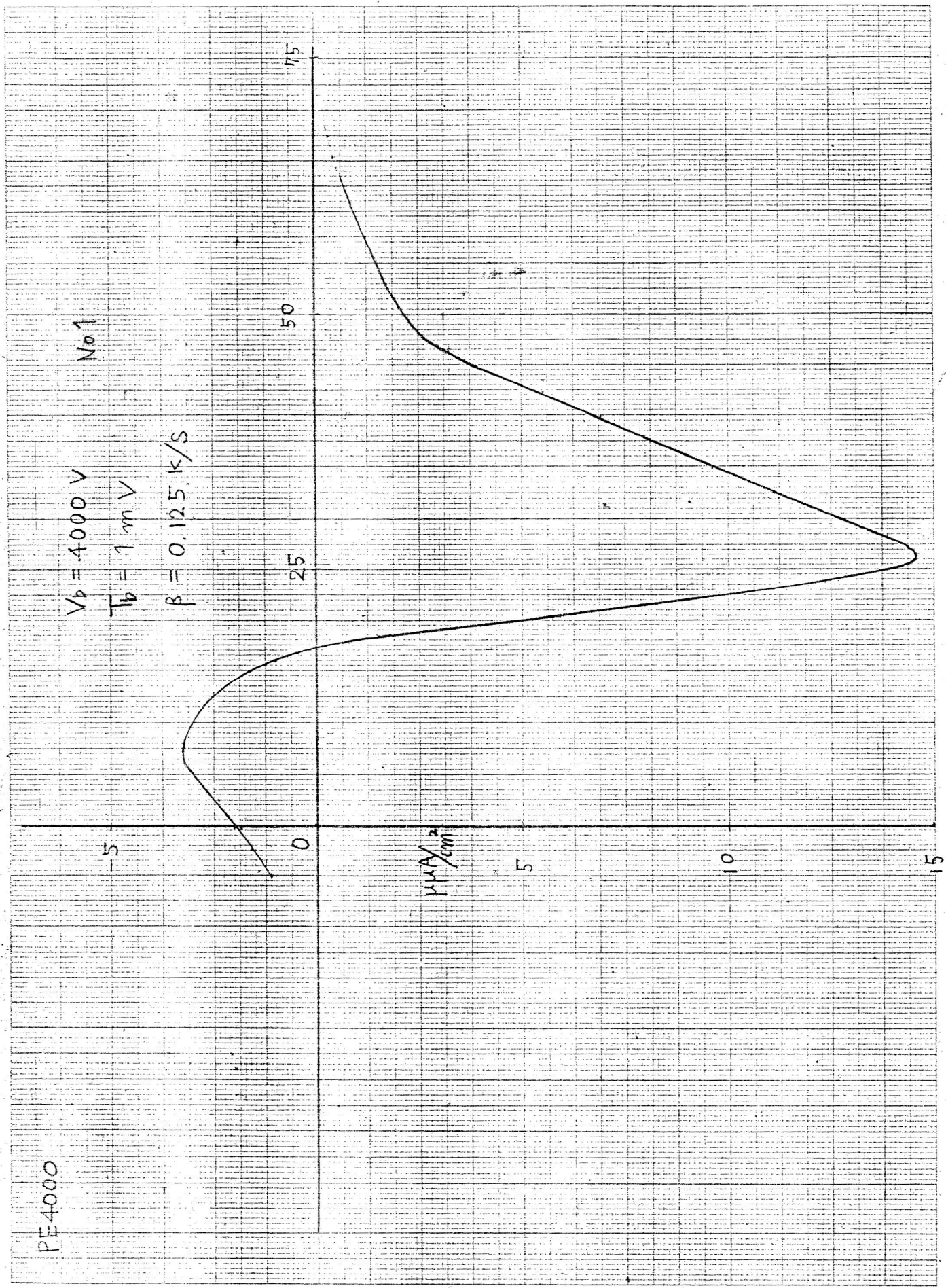
$$\bar{E}_A = 0.4 \text{ eV}$$

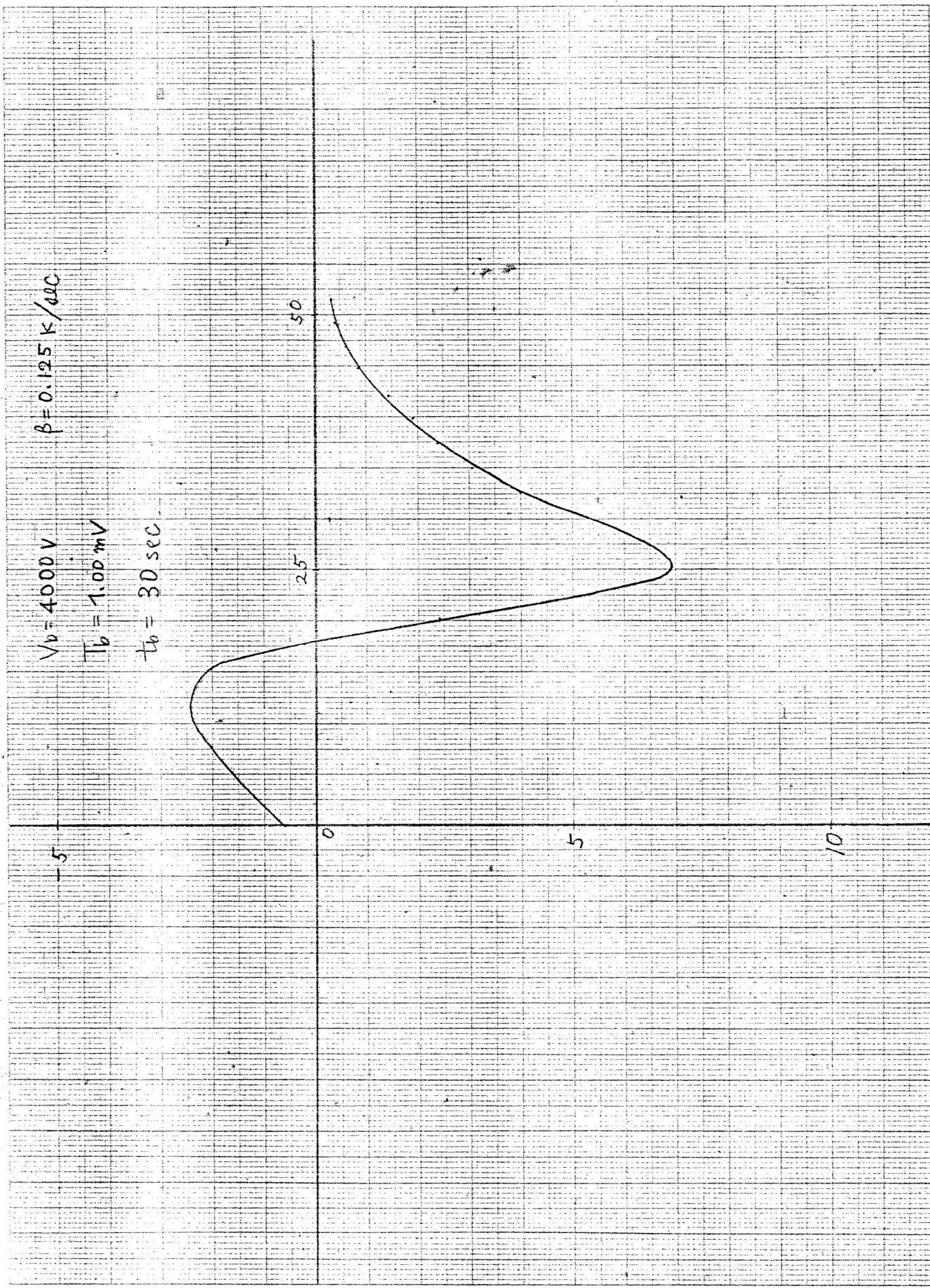


PE3500

180 X 250 mm

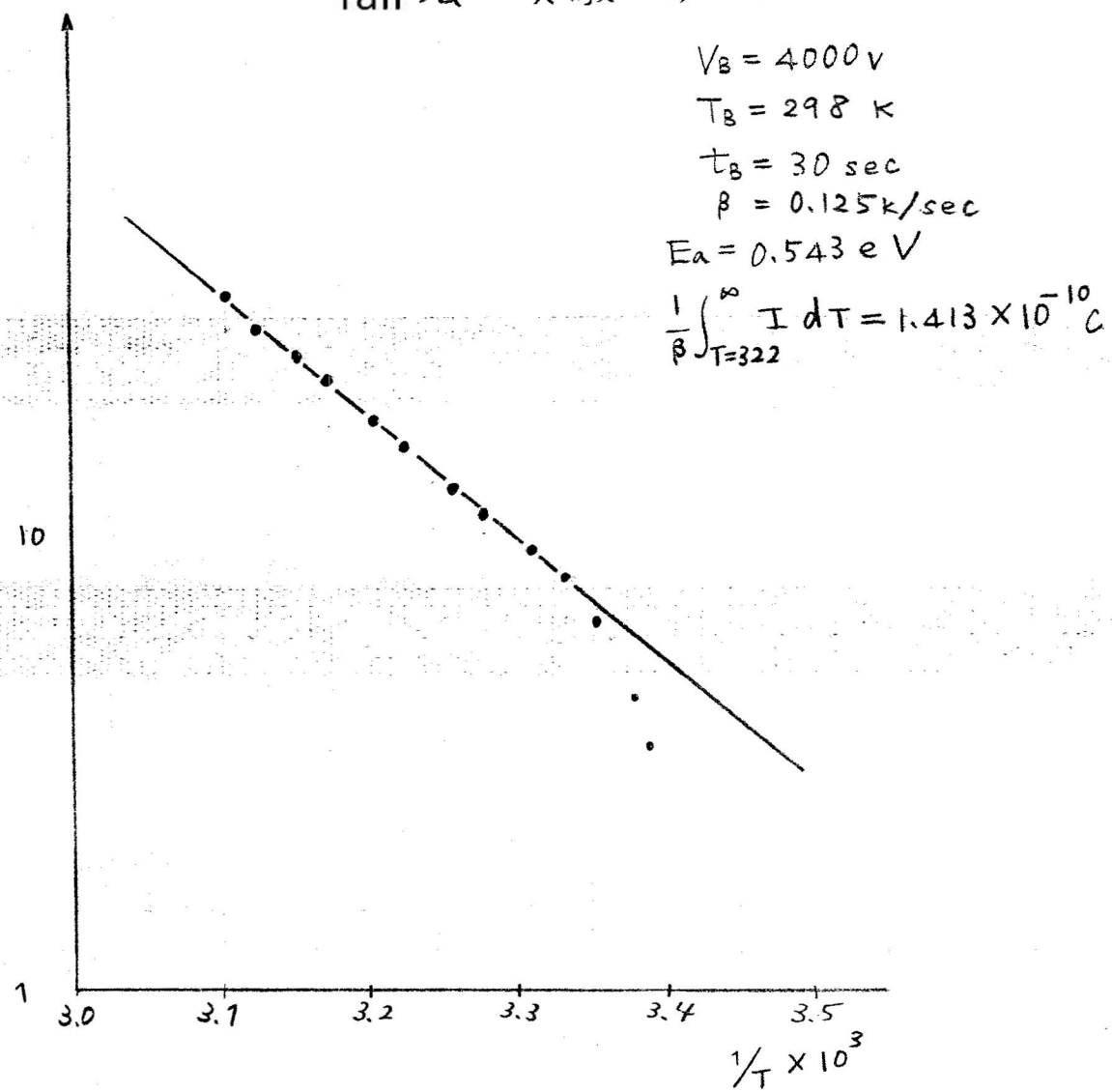






No. 1

Tail 法の実験への応用



No1

Tail 法の実験結果への応用

$$V_B = 3500 \text{ V}$$

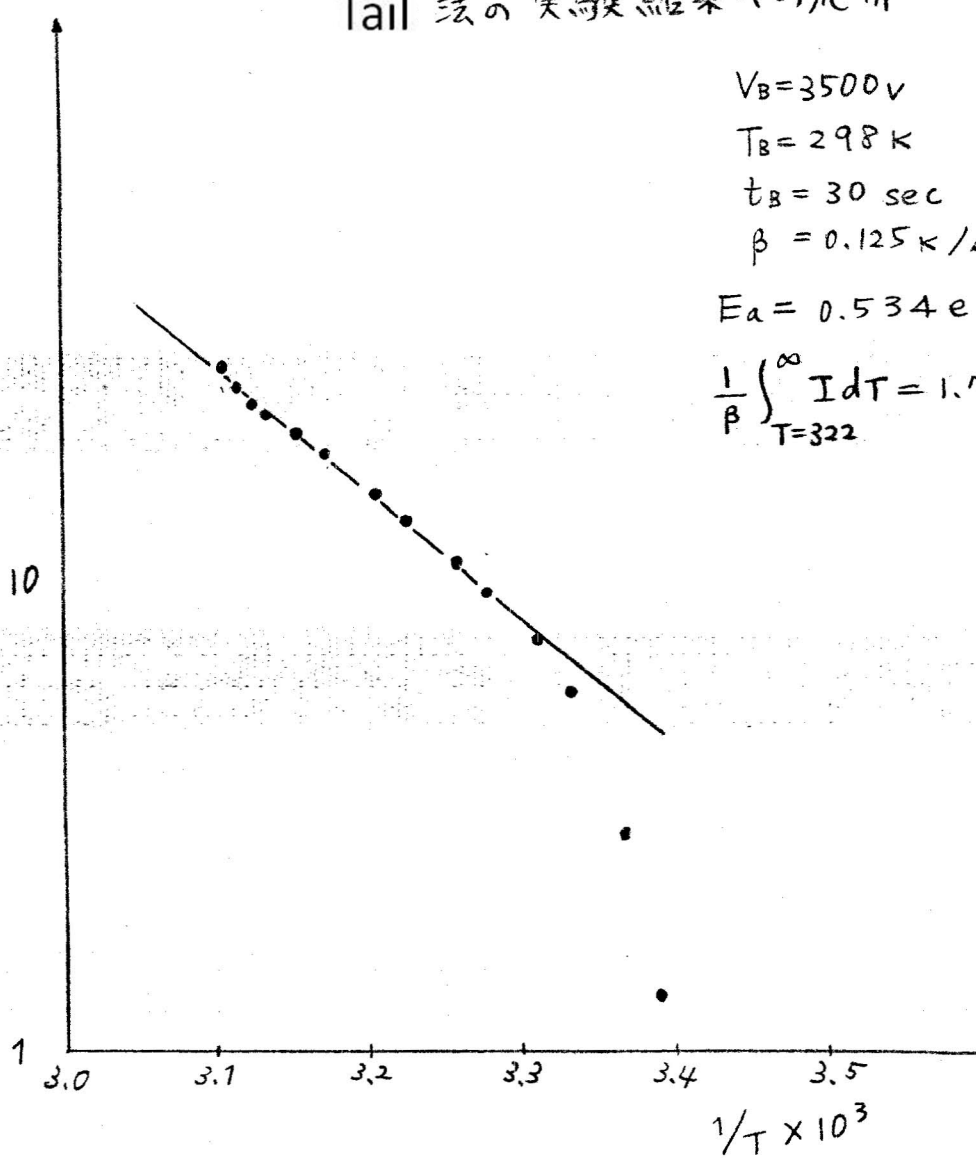
$$T_B = 298 \text{ K}$$

$$t_B = 30 \text{ sec}$$

$$\beta = 0.125 \text{ K/sec}$$

$$E_a = 0.534 \text{ eV}$$

$$\frac{1}{\beta} \int_{T=322}^{\infty} I dT = 1.779 \times 10^{10} \text{ C}$$



No2

Tail 法の実験への応用

$$V_B = 4000 \text{ V}$$

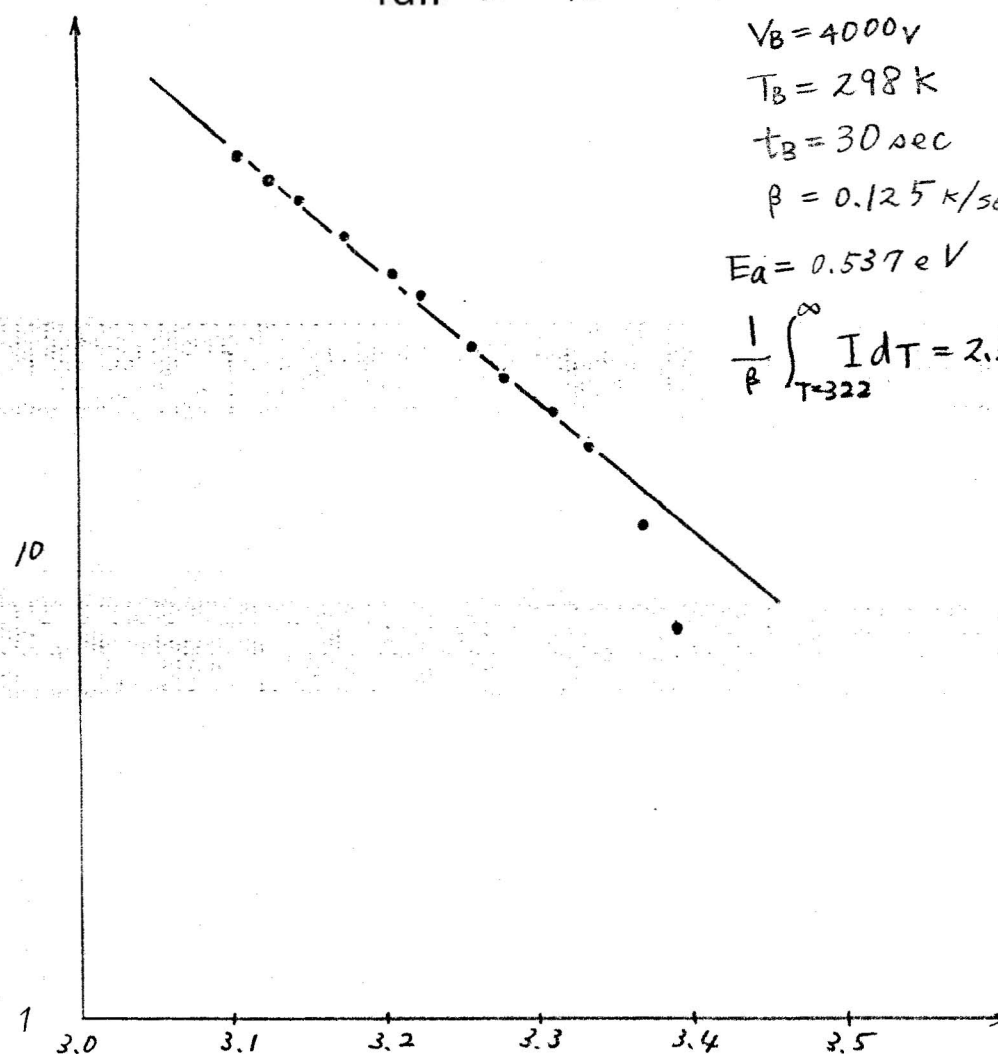
$$T_B = 298 \text{ K}$$

$$t_B = 30 \text{ sec}$$

$$\beta = 0.125 \text{ k/sec}$$

$$E_a = 0.537 \text{ eV}$$

$$\frac{1}{\beta} \int_{T=322}^{\infty} I dT = 2.352 \times 10^{-10} \text{ C}$$



图に指數分布 ($\alpha=1$) の場合の Initial rise を示す、また图に微分フェルミ分布の場合を示す。両图において破線は、改善された Initial rise plot を示している。この場合、指數分布においては、実線が破線の下に来るべく対し微分フェルミ分布では逆となる事に注意しよう。

微分フェルミ分布を単純化して右图のよう分布を考えよう。このように、両極からある範囲で電荷が無い場合で、電荷が電極に到るまでの温度で、TSCがどのようになるかは、G.F.L. Ferreira 等が調べている。彼らの方法と、本論文で示した方法は異なってゐるので、簡単に示すことにする。

どちらかの電極に電荷が到達する時間 τ とする。従って $\tau < t$ では ψ_0, ψ_d 共に不变であり

$$\psi_0 = F_0(0), \quad \psi_d = F_0(d)$$

である。

$$\frac{dg}{d\tau} = \frac{1}{2d} (\psi_0 - \psi_d) (\psi_0 + \psi_d + 2g) = \frac{Q}{2d\varepsilon} (F_0(0) + F_0(d) + 2g)$$

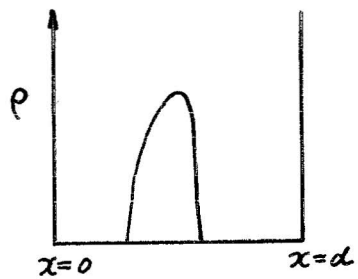
よって

$$g(\tau) = \frac{F_0(0) + F_0(d)}{2} \left[\exp\left(\frac{Q}{d\varepsilon}\tau\right) - 1 \right]$$

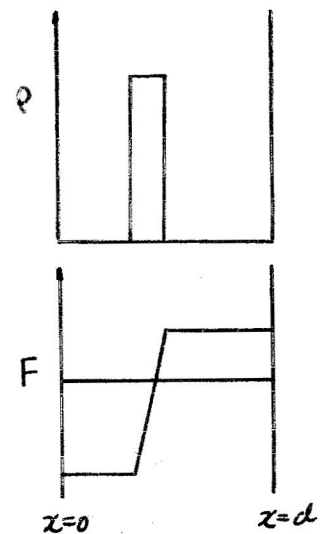
従って

$$I(\tau) = \frac{Q}{2d} (F_0(0) + F_0(d)) \mu^* \exp\left(\frac{Q}{d\varepsilon}\tau\right)$$

このように、TSCには増加する量 μ^* の他に増加する量 $\exp\left(\frac{Q}{d\varepsilon}\tau\right)$ が含まれる。この場合には、 $\exp()$ の寄与により Initial rise は温度上昇と共に、しだいに直線から上向きにはずれてくる。微分フェルミ分布の場合には、両極近くの電荷密度は、電荷密度の特徴的大きさに比べて非常に小さいから、上の議論からその性質を理解することができるだろう。 $\exp()$ という増加関数の意味を見るには、式()と上式を比較してみれば明らかとなる。すなわち $|1 - \exp(1)|$ の増加に関連している。この量の増加は次のようになると言えよう。



右図のような分布を考えたとき、 $x=0$ に近い面の電界の方が、 $x=d$ に近い面の電界よりも強いから電荷は速く運動する。従って、しじみに平均注入電荷距離は $x=0$ に向って移動する事になる。



微分エネルギー分布の場合、Initial rise plotを十分な低温から行なわないと、見かけ上大きな活性エネルギーを得る。一方指數分布の場合には、見かけ上小さな活性エネルギーを得る。この場合、改善されたInitial rise plotによってTSCを直線化すれば、

図に破線で示したように、かなりビーグーに近い温度まで直線となる事が分かる。実際の計算では、パラメタの増加と共に、手続きが複雑になるから、最小自乗法により、計算機を利用するのが良いと思われる。

通常のInitial rise 法は、TSCの実測値を対数グラフに $1/\tau$ に対して目盛るだけでよいので大変に簡単な方法である。所が、改善されたInitial rise 法では、目盛るべき曲線の中にすでに未知のパラメタが含まれているので、複雑であり、上述のように計算機の利用が考へられる。このような意味での複雑さが無く、しかも通常のInitial rise 法よりも良い結果を与えるものとして、H. J. Wintle, J. van Turnhout は charge ratio plot という方法を提案している。彼らは矩形の場合の解を用いて、この方法を導いているので、ここで簡単に示すことにする。式(1)式において $x_0/d < 0.5$ 程度の場合には、

$$g \approx -\frac{1}{2d} \frac{x_0^2}{\tau + \frac{\epsilon}{en_r}} + \frac{en_r x_0^2}{2d\epsilon} = \frac{en_r x_0^2}{2d\epsilon} \frac{\tau}{\tau + \frac{\epsilon}{en_r}}$$

さらに

$$Q_{TSC}/\epsilon = g(\tau_d) \approx \frac{en_r x_0^2}{2d\epsilon}$$

と見て

$$\frac{g}{g(\tau_d) - g} \approx \frac{en_r \tau}{\epsilon}$$

と書ける。

これをより分かり易く書けば

$$\frac{1}{\beta} \int_{T_0}^T I dT / \left(\frac{1}{\beta} \int_T^\infty I dT \right) \simeq \frac{enr}{\varepsilon} \tau$$

となり

$$\tau = \frac{1}{\beta} \int_{T_0}^T \mu^* dT = \frac{1}{\beta} \int_{T_0}^T \mu_0^* e^{-\frac{E}{kT}} dT \simeq \frac{kT^2}{EB} \mu_0^* e^{-\frac{E}{kT}}$$

を用いれば

$$\frac{enr k \mu_0^*}{\varepsilon E B} e^{-\frac{E}{kT}} \simeq \frac{\frac{1}{\beta} \int_{T_0}^T I dT}{\frac{T^2}{B} \int_T^\infty I dT}$$

が得られる。これから活性エネルギーが求められる。Turnoutはこれを charge ratio plot と呼んだ。このようなplotにより、 τ との直線関係が得られる事の理由として、彼は、試料内に残っている電荷量が、電荷の減衰の割合を決定するからだと述べている。すなわち()式の分母が、残っている電荷量に対応し、分子がこれまでに放出された電荷量に対応するという事である。又 図からか 図は各自矩形分布、SCLC分布、指数分布、微分ガルニ分布における通常のInitial rise 法と charge plot を比較したものである。これから分かるように、直線の良いのは矩形分布で $\tau = 5 \mu m$ の場合のみであって、他の場合には、Initial rise 法よりもわずかに良い程度である。特に微分ガルニ分布の場合には見かけ上、Initial rise よりも良くなれる結果を得る。このような事の原因は、charge ratio plot がTSCに現われる電荷の緩和の一側面をとらえているにすぎない事であると考えられる。又 章に述べたように、電荷の緩和には、総量の緩和と対称性の緩和が存在し、それぞれ TSCに寄与してくれる。charge ratio plot の導き方からも分かるとおり、電荷が片寄った分布としている時に成立する方法である。片寄った分布の場合には、前に示したように、総量の緩和が支配的となるので、総量の緩和のみを考えても良い近似となるであろう。然が、SCLC 分布等の場合には、対称性の緩和も寄与をするので、上のようは単純な近似は許されない。

第図から第図は Tail 法を SCLC 分布、指数分布、微分正ルミ分布に適用した結果を示している。各図には、TSC の peak 温度、ピーク電流の $1/e$ になる温度、ピーク値の $1/10$ になる温度を示している。SCLC 分布では、ピーク近くまでかなり直線性が良く、指数分布では $\alpha=1$ の時は完全に直線となるか、 α の増加とともに直線性が悪くなり $\alpha=8$ では TSC のピーク値の半分以下となる、で初めて直線となる。微分正ルミ分布では、ピーク近くでわずかに直線からはずれてくる。

Tail 法の導き方は、Tail の級数表現の第 1 項を用いているので、その成立範囲はおのずと制限を受ける事になる。しかし、その他に、 $U(\psi)$ の Taylor 展開を用いておりしていいるため、そのための制限も加わって来る。矩形で、 $\Delta\psi$ が "d" に近い場合などがその例である。Tail 法が成立するのは、電荷密度が、試料全体でかなり均一に近い場合、すなわち、初期の不均一な分布から、じぶんに電荷の緩和が起る。十分高温とすれば、電荷分布は均一化されて来る、そのような温度領域で Tail 法が成立する。従って、初期の分布が非常に不均一である場合には、十分な均一化が起るまでに長時間を要する事になる。矩形で $\Delta\psi$ が "d" に近い場合や、指数分布で α が大きい場合などがそれに相当する。このとき、Initial rise 法と関連して述べたように、電荷の減衰が支配的であるから、それを考慮した近似を用いるのが妥当である。

電圧を加えて注入する場合、コロナ充電の場合でも長時間に渡って充電を行なうならば、電荷分布が極端に片寄る事は考えられない、従ってこのような場合には Tail 法を適用する事が許されるであろう。

低密度ポリエチレン(厚さ $40 \mu\text{m}$)にアルミニウム電極を蒸着した試料に電圧印加により、電荷を注入した時の TSC に Tail 法を適用する。第図、第図は右々、同一の試料に 4000V , 3500V の電圧印加により注入を行なった場合の TSC、第図は別の試料に 4000V 印加したときの TSC である。印加温度は 298K 、印加時間 30 秒である。

Tail法を用いる場合、実験上TSCが全ての温度範囲に渡って知られていないのではなく、電流値の小さな所は不明確になるので、電流の積分を無限の温度まで必要な精度で行なえるとは限らない。従って、実際に応用する場合には、ある限界以上の温度におけるTSCの積分値を未知の数として決定する必要がある。すなわち。

$$\frac{I}{\left[\frac{1}{\beta} \int_T^\infty I dT \right]^{4/3}} = \frac{I}{\left[\frac{1}{\beta} \int_T^{T_c} I dT + C \right]^{4/3}}$$

としてCを決定しなくてはならない。今の場合 $T_c = 322K$ と取った。

結果を比較すると、活性化エネルギーは $0.540 eV$ 前後の値となり、良く一致している。ポリエチレンの移動度の測定は、色々な方法により行なわれている。ちなみに高電圧パルス法によれば、 $10^4 \sim 10^3 \text{ cm}^2/\text{v.sec}$ で活性化エネルギーは $0.24 eV$ 、電荷減衰法によれば、 $10^9 \sim 10^7 \text{ cm}^2/\text{v.sec}$ で活性化エネルギーは $0.92 eV$ という値が報告されている。このように測定方法によって、値に大きなバラつきがある。この事は、電子のエネルギーによって移動度、及びその活性化エネルギーが異なると見えられるので、高電圧パルス法では、高エネルギーの電子の移動度を測定し、電荷減衰法では、トラップの効果すなわち捕獲や放出などを含んで、見かけの移動度を測定しているとして、解釈されている。高分子の中において比較的よく研究されている。ポリエチレンにおいても、その移動度に関して確定的見解は得られていない。一般的には、各エネルギーにおける移動度、及び、取扱っていける現象に因る電子のエネルギー分布が分って初めて電流を求める事ができるのだが、そのような詳細な議論の段階には至っていないので、実験的に得られる移動度は、一つの現象論的表現を電子という事で満足しきれてはならない。従って、TSCの解釈では、TSCから得られる現象論的移動度を用いるのが最も正しいと考えられる。

1) 田中他 電学誌 93-A, 473 (1973)

2) D.K. Davies J. Phys. D' Appl. Phys 5, 162 (1972)

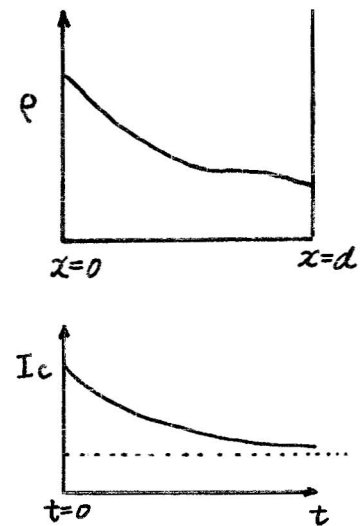
トラップの問題を除外しても（実際上では、いわゆる shallow trap のみを考慮している）Tale 法が、実験上有効なデータ範囲で用いられるか、どうかは問題となる。前述のように、Tale 法は、初期分布が均一など有効である。従って、初期分布の均一性について何らかの目安を得る事は重要である。一般的な分布について、平均注入距離 \bar{x} と均一性は、幾何学的な意味では、確からずとも対応しないが、応用上、特に特異な分布を考えない限り、良い目安となると考えられる。 $x=0$ を注入電極としたとき電圧印加により右図のような分布が形成されたとするれば、そのときの吸収電荷（右図で実線と点線の間の面積） Q_a は

$$Q_a = \int_0^d \frac{x}{d} \rho(x) dx = Q_t \frac{\bar{x}}{d}$$

で与えられる。TSC 判定を行なった時に観測される電荷量 Q_{TSC} の評価として矩形の場合のものを用いれば、 Q_{TSC}/Q_a は次のようになる

$$\frac{Q_{TSC}}{Q_a} = 1 - \frac{d^2}{4\bar{x}^2} \exp\left(2 - \frac{d}{\bar{x}}\right)$$

従って、これから \bar{x}/d を評価できるので、均一性の目安を得る事ができる。右図に上式の結果を示す。上では矩形を用いていたが、一般の場合にも、計算する事は容易である。



$$\frac{Q_{TSC}}{Q_a}$$

 10^1 10^2 10^3

2 4 6 8 10 12 14

$$\frac{d}{x}$$

平均注入距離毎による TSC電荷量と吸収電荷の比の変化

